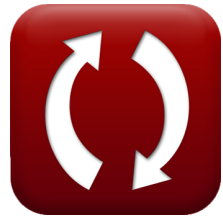


[calculatoratoz.com](http://calculatoratoz.com)[unitsconverters.com](http://unitsconverters.com)

# Flujo gradualmente variado en los canales Fórmulas

[¡Calculadoras!](#)[¡Ejemplos!](#)[¡Conversiones!](#)

Marcador [calculatoratoz.com](http://calculatoratoz.com), [unitsconverters.com](http://unitsconverters.com)

Cobertura más amplia de calculadoras y creciente - **¡30.000+ calculadoras!**  
Calcular con una unidad diferente para cada variable - **¡Conversión de unidades integrada!**

La colección más amplia de medidas y unidades - **¡250+ Medidas!**

¡Siéntete libre de COMPARTIR este documento con tus amigos!

[Por favor, deje sus comentarios aquí...](#)



# Lista de 36 Flujo gradualmente variado en los canales Fórmulas

## Flujo gradualmente variado en los canales ↗

### 1) Alta dado el número de Froude ↗

**fx** 
$$Q_f = \frac{Fr}{\sqrt{\frac{T}{[g] \cdot S^3}}}$$

Calculadora abierta ↗

**ex** 
$$177.8123 \text{ m}^3/\text{s} = \frac{10}{\sqrt{\frac{2\text{m}}{[g] \cdot (4.01\text{m}^2)^3}}}$$

### 2) Ancho superior dado el número de Froude ↗

**fx** 
$$T = \frac{Fr^2 \cdot S^3 \cdot [g]}{Q_f^2}$$

Calculadora abierta ↗

**ex** 
$$2.0184\text{m} = \frac{(10)^2 \cdot (4.01\text{m}^2)^3 \cdot [g]}{(177\text{m}^3/\text{s})^2}$$

### 3) Ancho superior dado gradiente de energía ↗

**fx** 
$$T = \left( \left( 1 - \left( \frac{i}{m} \right) \right) \cdot \frac{[g] \cdot S^3}{Q_{eg}^2} \right)$$

Calculadora abierta ↗

**ex** 
$$2.003268\text{m} = \left( \left( 1 - \left( \frac{2.02}{4} \right) \right) \cdot \frac{[g] \cdot (4.01\text{m}^2)^3}{(12.5\text{m}^3/\text{s})^2} \right)$$



## 4) Área de la sección dada la energía total ↗

**fx** 
$$S = \left( \frac{Q_f^2}{2 \cdot [g] \cdot (E_t - d_f)} \right)^{0.5}$$

**Calculadora abierta ↗**

**ex** 
$$4.000068m^2 = \left( \frac{(177m^3/s)^2}{2 \cdot [g] \cdot (103.13J - 3.3m)} \right)^{0.5}$$

## 5) Área de la sección dado el gradiente de energía ↗

**fx** 
$$S = \left( Q_{eg}^2 \cdot \frac{T}{\left( 1 - \left( \frac{i}{m} \right) \right) \cdot ([g])} \right)^{\frac{1}{3}}$$

**Calculadora abierta ↗**

**ex** 
$$4.007819m^2 = \left( (12.5m^3/s)^2 \cdot \frac{2m}{\left( 1 - \left( \frac{2.02}{4} \right) \right) \cdot ([g])} \right)^{\frac{1}{3}}$$

## 6) Área de la sección dado el número de Froude ↗

**fx** 
$$S = \left( \left( Q_f^2 \cdot \frac{T}{[g] \cdot Fr^2} \right) \right)^{\frac{1}{3}}$$

**Calculadora abierta ↗**

**ex** 
$$3.997777m^2 = \left( \left( (177m^3/s)^2 \cdot \frac{2m}{[g] \cdot (10)^2} \right) \right)^{\frac{1}{3}}$$



## 7) Descarga dada gradiente de energía ↗

$$fx \quad Q_{eg} = \left( \left( \left( 1 - \left( \frac{i}{m} \right) \right) \cdot \frac{[g] \cdot S^3}{T} \right) \right)^{0.5}$$

Calculadora abierta ↗

$$ex \quad 12.51021 \text{ m}^3/\text{s} = \left( \left( 1 - \left( \frac{2.02}{4} \right) \right) \cdot \frac{[g] \cdot (4.01 \text{ m}^2)^3}{2m} \right)^{0.5}$$

## 8) Descarga dada la energía total ↗

$$fx \quad Q_f = ((E_t - d_f) \cdot 2 \cdot [g] \cdot S^2)^{0.5}$$

Calculadora abierta ↗

$$ex \quad 177.4395 \text{ m}^3/\text{s} = ((103.13 \text{ J} - 3.3 \text{ m}) \cdot 2 \cdot [g] \cdot (4.01 \text{ m}^2)^2)^{0.5}$$

## 9) Energía total de flujo ↗

$$fx \quad E_t = d_f + \frac{Q_f^2}{2 \cdot [g] \cdot S^2}$$

Calculadora abierta ↗

$$ex \quad 102.6361 \text{ J} = 3.3 \text{ m} + \frac{(177 \text{ m}^3/\text{s})^2}{2 \cdot [g] \cdot (4.01 \text{ m}^2)^2}$$

## 10) Fórmula de Chezy para la pendiente del lecho dada la pendiente de energía del canal rectangular ↗

$$fx \quad S_0 = \frac{S_f}{\left( \frac{C}{d_f} \right)^3}$$

Calculadora abierta ↗

$$ex \quad 2.663331 = \frac{2.001}{\left( \frac{3m}{3.3m} \right)^3}$$



## 11) Fórmula de Chezy para la profundidad de flujo dada la pendiente de energía del canal rectangular ↗

**fx**  $d_f = \frac{C}{\left(\frac{S_f}{S_0}\right)^{\frac{1}{3}}}$

Calculadora abierta ↗

**ex**  $3.779448m = \frac{3m}{\left(\frac{2.001}{4.001}\right)^{\frac{1}{3}}}$

## 12) Fórmula de Chezy para la profundidad normal dada la pendiente de energía del canal rectangular ↗

**fx**  $C = \left(\left(\frac{S_f}{S_0}\right)^{\frac{1}{3}}\right) \cdot d_f$

Calculadora abierta ↗

**ex**  $2.61943m = \left(\left(\frac{2.001}{4.001}\right)^{\frac{1}{3}}\right) \cdot 3.3m$

## 13) Gradiente de energía dada la pendiente del lecho ↗

**fx**  $i = S_0 - S_f$

Calculadora abierta ↗

**ex**  $2 = 4.001 - 2.001$

## 14) Gradiente de energía dada Pendiente ↗

**fx**  $i = \left(1 - \left(Q_{eg}^2 \cdot \frac{T}{[g] \cdot S^3}\right)\right) \cdot m$

Calculadora abierta ↗

**ex**  $2.02323 = \left(1 - \left((12.5m^3/s)^2 \cdot \frac{2m}{[g] \cdot (4.01m^2)^3}\right)\right) \cdot 4$



### 15) Número de Froude dada la pendiente de la ecuación dinámica del flujo gradualmente variado ↗

Calculadora abierta ↗

**fx**  $F_{r(d)} = \sqrt{1 - \left( \frac{S_0 - S_f}{m} \right)}$

**ex**  $0.707107 = \sqrt{1 - \left( \frac{4.001 - 2.001}{4} \right)}$

### 16) Número de Froude dado Ancho superior ↗

Calculadora abierta ↗

**fx**  $Fr = \sqrt{Q_f^2 \cdot \frac{T}{[g] \cdot S^3}}$

**ex**  $9.954315 = \sqrt{(177\text{m}^3/\text{s})^2 \cdot \frac{2\text{m}}{[g] \cdot (4.01\text{m}^2)^3}}$

### 17) Pendiente de la ecuación dinámica de flujo gradualmente variado dado el gradiente de energía ↗

Calculadora abierta ↗

**fx**  $m = \frac{i}{1 - \left( Q_{eg}^2 \cdot \frac{T}{[g] \cdot S^3} \right)}$

**ex**  $3.993615 = \frac{2.02}{1 - \left( (12.5\text{m}^3/\text{s})^2 \cdot \frac{2\text{m}}{[g] \cdot (4.01\text{m}^2)^3} \right)}$



### 18) Pendiente de la ecuación dinámica de flujos gradualmente variados ↗

**fx**  $m = \frac{S_0 - S_f}{1 - \left(F_{r(d)}^2\right)}$

Calculadora abierta ↗

**ex**  $3.921569 = \frac{4.001 - 2.001}{1 - \left((0.7)^2\right)}$

### 19) Pendiente del lecho dada la pendiente de la ecuación dinámica del flujo gradualmente variado ↗

**fx**  $S_0 = S_f + \left(m \cdot \left(1 - \left(F_{r(d)}^2\right)\right)\right)$

Calculadora abierta ↗

**ex**  $4.041 = 2.001 + \left(4 \cdot \left(1 - \left((0.7)^2\right)\right)\right)$

### 20) Pendiente del lecho dada Pendiente de energía del canal rectangular ↗

**fx**  $S_0 = \frac{S_f}{\left(\frac{C}{d_f}\right)^{\frac{10}{3}}}$

Calculadora abierta ↗

**ex**  $2.749304 = \frac{2.001}{\left(\frac{3m}{3.3m}\right)^{\frac{10}{3}}}$

### 21) Profundidad de flujo dada la energía total ↗

**fx**  $d_f = E_t - \left(\frac{Q_f^2}{2 \cdot [g] \cdot S^2}\right)$

Calculadora abierta ↗

**ex**  $3.793897m = 103.13J - \left(\frac{(177m^3/s)^2}{2 \cdot [g] \cdot (4.01m^2)^2}\right)$



## 22) Profundidad de flujo dada la pendiente de energía del canal rectangular ↗

**fx**  $d_f = \frac{C}{\left(\frac{S_f}{S_0}\right)^{\frac{3}{10}}}$

Calculadora abierta ↗

**ex**  $3.693156m = \frac{3m}{\left(\frac{2.001}{4.001}\right)^{\frac{3}{10}}}$

## 23) Profundidad normal dada Pendiente de energía del canal rectangular ↗

**fx**  $C = \left(\left(\frac{S_f}{S_0}\right)^{\frac{3}{10}}\right) \cdot d_f$

Calculadora abierta ↗

**ex**  $2.680634m = \left(\left(\frac{2.001}{4.001}\right)^{\frac{3}{10}}\right) \cdot 3.3m$

## 24) Talud inferior del canal dado gradiente de energía ↗

**fx**  $S_0 = i + S_f$

Calculadora abierta ↗

**ex**  $4.021 = 2.02 + 2.001$

## Pendiente de energía ↗

## 25) Fórmula de Chezy para la pendiente de energía de un canal rectangular ↗

**fx**  $S_f = S_0 \cdot \left(\frac{C}{d_f}\right)^3$

Calculadora abierta ↗

**ex**  $3.006011 = 4.001 \cdot \left(\frac{3m}{3.3m}\right)^3$



## 26) Pendiente de energía dada Pendiente de ecuación dinámica de flujo gradualmente variado ↗

**fx**  $S_f = S_0 - \left( m \cdot \left( 1 - \left( F_{r(d)}^2 \right) \right) \right)$

Calculadora abierta ↗

**ex**  $1.961 = 4.001 - \left( 4 \cdot \left( 1 - \left( (0.7)^2 \right) \right) \right)$

## 27) Pendiente de energía del canal Gradiente de energía dado ↗

**fx**  $S_f = S_0 - i$

Calculadora abierta ↗

**ex**  $1.981 = 4.001 - 2.02$

## 28) Pendiente de energía del canal rectangular ↗

**fx**  $S_f = S_0 \cdot \left( \frac{C}{d_f} \right)^{\frac{10}{3}}$

Calculadora abierta ↗

**ex**  $2.91201 = 4.001 \cdot \left( \frac{3m}{3.3m} \right)^{\frac{10}{3}}$



## Canal rectangular ancho ↗

29) Fórmula de Chezy para la pendiente de la ecuación dinámica del flujo gradualmente variado ↗

$$fx \quad m = S_0 \cdot \left( \frac{1 - \left( \left( \frac{y}{d_f} \right)^3 \right)}{1 - \left( \left( \left( \frac{h_c}{d_f} \right)^3 \right) \right)} \right)$$

Calculadora abierta ↗

$$ex \quad 3.729335 = 4.001 \cdot \left( \frac{1 - \left( \left( \frac{1.5m}{3.3m} \right)^3 \right)}{1 - \left( \left( \left( \frac{1.001m}{3.3m} \right)^3 \right) \right)} \right)$$

30) Fórmula de Chezy para la profundidad crítica del canal dada la pendiente de la ecuación dinámica de GVF ↗

$$fx \quad H_C = \left( \left( 1 - \left( \left( \frac{1 - \left( \left( \frac{y}{d_f} \right)^3 \right)}{\frac{m}{S_0}} \right) \right)^{\frac{1}{3}} \right) \right) \cdot d_f$$

Calculadora abierta ↗

$$ex \quad 0.106454m = \left( \left( 1 - \left( \left( \frac{1 - \left( \left( \frac{1.5m}{3.3m} \right)^3 \right)}{\frac{4}{4.001}} \right) \right)^{\frac{1}{3}} \right) \right) \cdot 3.3m$$



### 31) Fórmula de Chezy para la profundidad normal del canal dada la pendiente de la ecuación dinámica de GVF ↗

**fx****Calculadora abierta** ↗

$$y = \left( \left( 1 - \left( \left( \frac{m}{S_0} \right) \cdot \left( \left( 1 - \left( \left( \left( \frac{h_c}{d_f} \right)^3 \right) \right) \right) \right) \right)^{\frac{1}{3}} \right) \cdot d_f \right)$$

**ex**

$$1.003896m = \left( \left( 1 - \left( \left( \frac{4}{4.001} \right) \cdot \left( \left( 1 - \left( \left( \left( \frac{1.001m}{3.3m} \right)^3 \right) \right) \right) \right) \right)^{\frac{1}{3}} \right) \cdot 3.3m \right)$$

### 32) Pendiente de ecuaciones dinámicas de flujo gradualmente variado ↗

**fx****Calculadora abierta** ↗

$$m = S_0 \cdot \left( \frac{1 - \left( \left( \frac{y}{d_f} \right)^{\frac{10}{3}} \right)}{1 - \left( \left( \frac{h_c}{d_f} \right)^3 \right)} \right)$$

**ex**

$$3.818671 = 4.001 \cdot \left( \frac{1 - \left( \left( \frac{1.5m}{3.3m} \right)^{\frac{10}{3}} \right)}{1 - \left( \left( \frac{1.001m}{3.3m} \right)^3 \right)} \right)$$



### 33) Pendiente del lecho del canal dada la pendiente de la ecuación dinámica de GVF a través de la fórmula de Chezy ↗

**fx**

$$S_0 = \frac{m}{\left( \frac{1 - \left( \left( \frac{y}{d_f} \right)^3 \right)}{1 - \left( \left( \frac{h_c}{d_f} \right)^3 \right)} \right)}$$

Calculadora abierta ↗

**ex**

$$4.291382 = \frac{4}{\left( \frac{1 - \left( \left( \frac{1.5m}{3.3m} \right)^3 \right)}{1 - \left( \left( \frac{1.001m}{3.3m} \right)^3 \right)} \right)}$$

### 34) Profundidad Crítica del Canal dada la Pendiente de la Ecuación Dinámica del Flujo Gradualmente Variado ↗

**fx**

$$H_C = \left( \left( 1 - \left( \left( \frac{1 - \left( \left( \frac{y}{d_f} \right)^{\frac{10}{3}} \right)}{\frac{m}{S_0}} \right) \right)^{\frac{1}{3}} \right) \right) \cdot d_f$$

Calculadora abierta ↗

**ex**

$$0.081154m = \left( \left( 1 - \left( \left( \frac{1 - \left( \left( \frac{1.5m}{3.3m} \right)^{\frac{10}{3}} \right)}{\frac{4}{4.001}} \right) \right)^{\frac{1}{3}} \right) \right) \cdot 3.3m$$



### 35) Profundidad normal del canal dada la pendiente de la ecuación dinámica del flujo gradualmente variado ↗

**fx****Calculadora abierta ↗**

$$y = \left( \left( 1 - \left( \left( \frac{m}{S_0} \right) \cdot \left( \left( 1 - \left( \left( \left( \frac{h_c}{d_f} \right)^3 \right) \right) \right) \right) \right) \right)^{\frac{3}{10}} \right) \cdot d_f$$

**ex**

$$1.130762m = \left( \left( 1 - \left( \left( \frac{4}{4.001} \right) \cdot \left( \left( 1 - \left( \left( \left( \frac{1.001m}{3.3m} \right)^3 \right) \right) \right) \right) \right) \right)^{\frac{3}{10}} \right) \cdot 3.3m$$

### 36) Talud del lecho del canal dada la pendiente de la ecuación dinámica del flujo gradualmente variado ↗

**fx****Calculadora abierta ↗**

$$S_0 = \frac{m}{\left( \frac{1 - \left( \left( \frac{y}{d_f} \right)^{\frac{10}{3}} \right)}{1 - \left( \left( \frac{h_c}{d_f} \right)^3 \right)} \right)}$$

**ex**

$$4.190987 = \frac{4}{\left( \frac{1 - \left( \left( \frac{1.5m}{3.3m} \right)^{\frac{10}{3}} \right)}{1 - \left( \left( \frac{1.001m}{3.3m} \right)^3 \right)} \right)}$$



## Variab es utilizadas

- **C** Profundidad crítica del canal (*Metro*)
- **d<sub>f</sub>** Profundidad de flujo (*Metro*)
- **E<sub>t</sub>** Energía Total en Canal Abierto (*Joule*)
- **F<sub>r(d)</sub>** Froude No por ecuación dinámica
- **Fr** Número de Froude
- **h<sub>c</sub>** Profundidad crítica del vertedero (*Metro*)
- **H<sub>C</sub>** Profundidad crítica del flujo GVF del canal (*Metro*)
- **i** Gradiente hidráulico a pérdida de carga
- **m** Pendiente de la línea
- **Q<sub>eg</sub>** Descarga por gradiente de energía (*Metro cúbico por segundo*)
- **Q<sub>f</sub>** Descarga para flujo GVF (*Metro cúbico por segundo*)
- **S** Área de superficie mojada (*Metro cuadrado*)
- **S<sub>0</sub>** Pendiente del lecho del canal
- **S<sub>f</sub>** Pendiente energética
- **T** Ancho superior (*Metro*)
- **y** Profundidad normal (*Metro*)



# Constantes, funciones, medidas utilizadas

- **Constante:** **[g]**, 9.80665 Meter/Second<sup>2</sup>  
*Gravitational acceleration on Earth*
- **Función:** **sqrt**, sqrt(Number)  
*Square root function*
- **Medición:** **Longitud** in Metro (m)  
*Longitud Conversión de unidades* ↗
- **Medición:** **Área** in Metro cuadrado (m<sup>2</sup>)  
*Área Conversión de unidades* ↗
- **Medición:** **Energía** in Joule (J)  
*Energía Conversión de unidades* ↗
- **Medición:** **Tasa de flujo volumétrico** in Metro cúbico por segundo (m<sup>3</sup>/s)  
*Tasa de flujo volumétrico Conversión de unidades* ↗



## Consulte otras listas de fórmulas

- Flujo gradualmente variado en los canales Fórmulas 

¡Siéntete libre de COMPARTIR este documento con tus amigos!

### PDF Disponible en

[English](#) [Spanish](#) [French](#) [German](#) [Russian](#) [Italian](#) [Portuguese](#) [Polish](#) [Dutch](#)

2/1/2024 | 4:10:48 PM UTC

*[Por favor, deje sus comentarios aquí...](#)*

